

## 4. STABILNOŚĆ LOKALNA SYSTEMU ELEKTROENERGETYCZNEGO

### 4.1. Wprowadzenie

Stabilność lokalna systemu elektroenergetycznego (SE) to stabilność jego pracy podczas małych zakłóceń. Do tych zakłóceń można zaliczyć:

- załączanie, wyłączenie małych odbiorów,
- załączanie, wyłączenie pojedynczych generatorów,
- załączanie, wyłączenie pojedynczych linii w sieci elektroenergetycznej (SEE),
- działanie układów regulacji napięcia i częstotliwości podczas tych zmian.

#### Definicja stabilności

Rozwiązanie  $x_1(t)$  równania (układu) różniczkowego nazywamy stabilnym (stabilnym w sensie Lapunowa), jeżeli dla dowolnego  $\varepsilon > 0$  i dowolnego czasu  $t_0$  można dobrać taką liczbę  $\eta$ , że dla wszystkich punktów startowych spełniających ograniczenie:

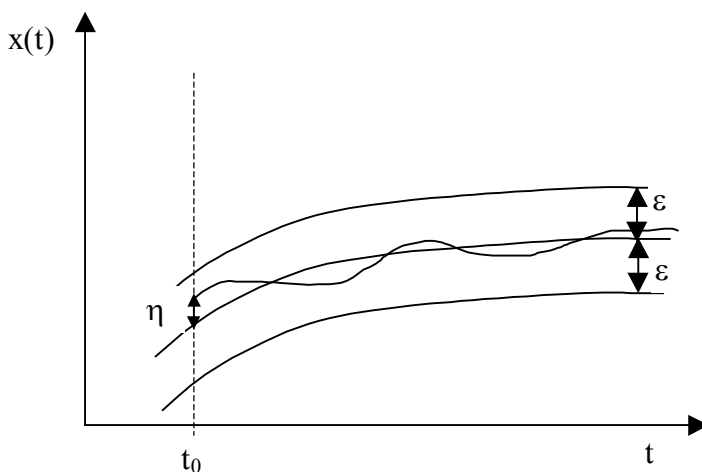
$$\|x_2(t_0) - x_1(t_0)\| < \eta \quad (4.1)$$

zachodzi:

$$\|x_2(t) - x_1(t)\| < \varepsilon \quad (4.2)$$

dla każdego  $t > t_0$ .

Definicję tą zobrazowano na rys. 4.1.



Rys. 4.1 Interpretacja graficzna stabilności

#### Definicja stabilności asymptotycznej

Rozwiązanie  $x_1(t)$  równania (układu) różniczkowego nazywamy stabilnym asymptotycznie, jeżeli jest stabilne a ponadto:

$$\lim_{t \rightarrow \infty} \|x_2(t_0) - x_1(t_0)\| = 0 \quad (4.3)$$

Załóżmy, że system elektroenergetyczny opisano za pomocą układu równań różniczkowych nieliniowych postaci:

$$\frac{d\mathbf{X}}{dt} = \mathbf{F}(\mathbf{X}) \quad (4.4)$$

Niech  $\mathbf{X}_r$  będzie punktem, dla którego mamy:

$$\mathbf{F}(\mathbf{X}_r) = 0 \quad (4.5)$$

Funkcję nieliniową  $\mathbf{F}(\mathbf{X})$  możemy zlinearyzować w pewnym otoczeniu punktu  $\mathbf{X}_r$ . W tym celu funkcję  $\mathbf{F}(\mathbf{X})$  rozwiniemy w szereg Taylora do postaci:

$$\mathbf{F}(\mathbf{X}) = \mathbf{A} \cdot \mathbf{X} + \mathbf{R}(\mathbf{X}) \quad (4.6)$$

gdzie:

- $\mathbf{R}(\mathbf{X})$  - reszta z rozwinięcia;
- $\mathbf{A}$  - macierz Jacobiego - jacobian.

$$\mathbf{A} = \frac{d\mathbf{F}}{d\mathbf{X}} = \begin{bmatrix} \frac{\partial f_1}{\partial x_1} & \dots & \frac{\partial f_1}{\partial x_n} \\ \vdots & \ddots & \vdots \\ \frac{\partial f_n}{\partial x_1} & \dots & \frac{\partial f_n}{\partial x_n} \end{bmatrix} \quad (4.7)$$

W wyniku pominięcia reszty z rozwinięcia w szereg Taylora otrzymaliśmy opis naszego obiektu za pomocą układu równań różniczkowych liniowych postaci:

$$\frac{d\mathbf{X}}{dt} = \mathbf{A} \cdot \mathbf{X} \quad (4.8)$$

Powyższe równanie jest przybliżeniem liniowym układu równań różniczkowych nieliniowych a cała operacja operacją linearyzacji. Do równania nieliniowego i jego przybliżenia liniowego słuszne są następujące twierdzenia tzw. pierwszej metody Lapunowa.

#### Twierdzenie 1

Układ równań różniczkowych nieliniowych jest stabilny asymptotycznie lokalnie tzn. w otoczeniu punktu linearyzacji, jeśli jego przybliżenie liniowe jest stabilne asymptotycznie.

#### Twierdzenie 2

Układ równań różniczkowych nieliniowych jest niestabilny jeśli jego przybliżenie liniowe jest niestabilne.

#### Twierdzenie 3

O stabilności układu równań różniczkowych nieliniowych nie można nic wnioskować jeśli jego przybliżenie liniowe jest stabilne ale nie asymptotycznie.

W związku z powyższymi twierdzeniami i dokonaną linearyzacją musimy rozważyć problem stabilności układu równań różniczkowych liniowych (4.9). W tym celu musimy obliczyć wartości własne  $\lambda_i$  macierzy  $\mathbf{A}$  z równania:

$$\det(\mathbf{A} - \lambda_i \mathbf{1}) = 0 \quad (4.9)$$

gdzie:

- $\mathbf{1}$  - macierz jednostkowa.

Znając wartości własne możemy rozwiązanie układu równań różniczkowych liniowych zapisać jako:

$$x_i(t) = \sum_{j=1}^n a_{ij} e^{\lambda_j t} \quad (4.10)$$

O stabilności rozważanego układu równań różniczkowych liniowych możemy wnioskować w oparciu o poniższe twierdzenie.

#### Twierdzenie 4

Układu równań różniczkowych liniowych jest stabilny wtedy i tylko wtedy kiedy wszystkie wartości własne macierzy  $\mathbf{A}$  mają niedodatnie części rzeczywiste.

Układ ten jest stabilny asymptotycznie wtedy i tylko wtedy kiedy wszystkie wartości własne macierzy  $\mathbf{A}$  mają ujemne części rzeczywiste.

## 4.2. Model matematyczny systemu elektroenergetycznego

Przedstawione w rozdziale 4.1. rozważania dotyczące stabilności układu równań różniczkowych będą wykorzystane do badania stabilności systemu elektroenergetycznego. W tym celu musimy określić układ równań różniczkowych opisujących system elektroenergetyczny w stanach przejściowych. W wysokonapięciowym systemie elektroenergetycznym mamy do czynienia z dwoma rodzajami elementów:

- urządzenia przesyłowo-rozdzielcze,
- generatory.

Rozważając urządzenia przesyłowo-rozdzielcze jako obiekty dynamiczne można przyjąć, że stała czasowa składowej aperiodycznej jest nie większa niż 0.2s i nie wywołuje znaczących momentów działających na wał generatora. W generatorze jako obiekcie dynamicznym można wyróżnić następujące elementy wraz z ich stałymi czasowymi:

- uzwojenia stojana, stała czasowa składowej aperiodycznej nie większa niż 0.2 s,
- uzwojenia tłumiące, stała czasowa  $T_d''$  nie większa niż 0.2 s,
- uzwojenie wzbudzenia, stała czasowa  $T_d'$  = (6 ÷ 0.6) s,
- wirująca masa wirnika, stała czasowa  $T_m$  = (4 ÷ 12) s.

Dlatego, w pierwszym przybliżeniu, będziemy modelować jedynie generator jako układu równań różniczkowych opisujących dynamikę mas wirujących wirnika.

Energia kinetyczna mas wirujących  $E_k$  jest zdefiniowana wzorem:

$$E_k = \frac{J \omega^2}{2} \quad (4.11)$$

gdzie:

- $J$  - moment bezwładności wirnika turbo- hydrogeneratora;
- $\omega$  - prędkość obrotowa wirnika.

Zgodnie z zasadą zachowania energii mamy, że w każdej chwili zamianie mocy działających na wirnik a więc mocy mechanicznej  $P_m$  i elektrycznej  $P_e$  towarzyszy zmiana energii kinetycznej, czyli:

$$\frac{dE_k}{dt} = P_m - P_e \quad (4.12)$$

Równanie ruchu obrotowego wirnika  $i$ -tego generatora jest następujące:

$$J_i \omega_i \frac{d\omega_i}{dt} = P_{mi} - P_{ei} \quad (4.13)$$

Moment elektromagnetyczny generatora można uzależnić od mocy elektrycznej  $P_e$  oddawanej przez generator do sieci:

$$P_e = \omega M_e \quad (4.14)$$

Uwzględniając powyższe równanie, zależność prędkości obrotowej od kąta:

$$\omega_i = \frac{d\delta_i}{dt} \quad (4.15)$$

oraz fakt występowania momentu (mocy) tłumiącego to otrzymamy:

$$J_i \frac{d^2\delta_i}{dt^2} = M_{mi} - M_{ei} - M_{Di} \quad (4.16)$$

gdzie:

- $M_{mi}$  - moment mechaniczny turbiny, moment napędowy wirnika;
- $M_{ei}$  - moment elektromagnetyczny generatora, podstawowy moment hamujący generatora;
- $M_{Di}$  - moment tłumiący turbo- hydrogeneratora;
- $\delta_i$  - kąt pomiędzy siłą elektromotoryczną generatora a napięciem sieci sztywnej.

Równanie ruchu obrotowego wirnika  $i$ -tego generatora zapiszemy teraz jako układ równań w następujący sposób:

$$\frac{d\delta_i}{dt} = \omega_i \quad (4.17)$$

$$J_i \omega_i \frac{d\omega_i}{dt} = P_{mi} - P_{ei} - D_i \frac{d\delta_i}{dt} \quad (4.18)$$

Moment bezwładności wirnika generatora można wyrazić w funkcji mechanicznej stałej czasowej  $T_m$  następująco:

$$J = \frac{T_m S_N}{\omega_S^2} \quad (4.19)$$

Mechaniczna stała czasowa ma interpretację fizyczną. Jeśli pominiemy tłumienie i do nieruchomego wirnika nieobciążonego generatora przyłożymy znamionowy moment turbiny to przyspieszenie wirnika jest następujące:

$$\varepsilon = \frac{d^2\delta}{dt^2} = \frac{\omega_S}{\omega} \frac{\omega_S}{T_m S_N} \omega M_{mN} = \frac{\omega_S}{\omega} \frac{\omega_S}{T_m \omega_S M_{mN}} \omega M_{mN} = \frac{\omega_S}{T_m} \quad (4.20)$$

W skutek działania takiego przyspieszenia po czasie  $t = T_m$  wirnik generatora uzyskuje prędkość synchroniczną.

W przypadku rozważania najprostszego układu pracy generatora, układu generator-sieć sztywna, moc elektryczną generatora można zapisać w funkcji: kąta  $\delta_i$ , siły elektromotorycznej generatora, napięciem sieci sztywnej oraz impedancji  $\underline{Z} = Z e^{j\theta}$  pomiędzy tymi napięciami. Równanie to jest postaci:

$$P_{ei} = \frac{E_{di}^2}{Z} \sin \alpha_{ii} - \frac{E_{di} U_s}{Z} \sin(\delta_i - \alpha_{ii}) \quad (4.21)$$

Przy pominięciu rezystancji w obwodzie mamy:

$$J_i \omega_i \frac{d^2\delta_i}{dt^2} = P_{mi} - \frac{E_{di} U_s}{X} \sin \delta_i - D_i \frac{d\delta_i}{dt} \quad (4.22)$$

### 4.3. Kołysania wirnika generatora przy chwilowym zaburzeniu bilansu mocy czynnej

Wprowadzimy pojęcie współczynnika bezwładności jako:

$$M_i = J_i \omega_i \quad (4.23)$$

Wtedy równanie ruchu wirnika generatora ma postać:

$$\frac{d^2\delta_i}{dt^2} = \frac{P_{mi} - P_{ei}}{M_i} - \frac{D_i}{M_i} \frac{d\delta_i}{dt} \quad (4.24)$$

Pierwszy składnik powyższego równania możemy zapisać:

$$P_{ei} - P_{mi} = \Delta P_i = \frac{dP_{ei}}{d\delta_i} \Delta\delta_i = H_i \Delta\delta_i \quad (4.25)$$

Równanie (4.25) jest linearyzacją krzywej mocy elektrycznej w funkcji kąta  $\delta$  wokół rozważanego pewnego kąta początkowego  $\Delta\delta(t=0) = \delta_0$ . Uwzględniając to w równaniu (4.24) mamy:

$$\frac{d^2 \Delta \delta_i}{dt^2} + \frac{D_i}{M_i} \frac{d \Delta \delta_i}{dt} + \frac{H_i}{M_i} \Delta \delta_i = 0 \quad (4.26)$$

Równanie powyższe zapiszemy jako:

$$\frac{d^2 \Delta \delta_i}{dt^2} + d_i \frac{d \Delta \delta_i}{dt} + h_i \Delta \delta_i = 0 \quad (4.27)$$

gdzie:  $d_i = \frac{D_i}{M_i}$  oraz  $h_i = \frac{H_i}{M_i}$ .

Ogólne rozwiązanie równania (4.27) jest postaci:

$$\Delta \delta = A e^{\lambda t} \quad (4.28)$$

a jego pochodne:

$$\frac{d \Delta \delta}{dt} = A \lambda e^{\lambda t} \quad (4.29)$$

$$\frac{d^2 \Delta \delta}{dt^2} = A \lambda^2 e^{\lambda t} \quad (4.30)$$

Po podstawieniu tych funkcji do równania (4.27) otrzymujemy:

$$\lambda^2 + d \lambda + h = 0 \quad (4.31)$$

nazywane równaniem charakterystycznym. Rozwiązania tego równania są następujące:

$$\lambda_1 = \frac{-d - \sqrt{d^2 - 4h}}{2} \quad (4.32)$$

$$\lambda_2 = \frac{-d + \sqrt{d^2 - 4h}}{2}$$

Powyższe wielkości to wartości własne układu. W zależności od wartości wyrażenia pod pierwiastkiem, wartości własne  $\lambda_1$  oraz  $\lambda_2$  mogą być rzeczywiste lub zespolone. Rozwiązanie równania różniczkowego (4.27) jest postaci:

$$\Delta \delta = A_1 e^{\lambda_1 t} + A_2 e^{\lambda_2 t} \quad (4.33)$$

Musimy teraz wyznaczyć stałe  $A_1$  oraz  $A_2$ . W tym celu rozważymy chwilę początkową oraz jej pochodną, wtedy mamy:

$$A_1 + A_2 = \delta_0$$

$$\lambda_1 A_1 + \lambda_2 A_2 = 0 \quad (4.34)$$

W wyniku rozwiązania powyższego układu równań mamy:

$$\begin{aligned} A_1 &= \delta_0 \frac{\lambda_2}{\lambda_2 - \lambda_1} \\ A_2 &= -\delta_0 \frac{\lambda_1}{\lambda_2 - \lambda_1} \end{aligned} \quad (4.35)$$

czyli ogólna postać rozwiązania:

$$\Delta\delta = \frac{\delta_0}{\lambda_2 - \lambda_1} (\lambda_2 e^{\lambda_1 t} - \lambda_1 e^{\lambda_2 t}) \quad (4.36)$$

Zakładając, że moment tłumiący pochodzący od zjawisk elektromagnetycznych, wytwarzany przez uzwojenia tłumiące, można pominąć to  $d > 0$  albowiem pochodzi jedynie od tłumienia mechanicznego. Przy małych kątach obciążenia wartości pochodnej  $\frac{dP_e}{d\delta}$  są duże a więc mamy:

$$d^2 < 4h \quad (4.37)$$

czyli wartości własne  $\lambda_1$  oraz  $\lambda_2$  są zmiennymi zespolonymi o postaci:

$$\begin{aligned} \lambda_1 &= -\alpha - j\omega_w \\ \lambda_2 &= -\alpha + j\omega_w \end{aligned} \quad (4.38)$$

$$\begin{aligned} \alpha &= \frac{d}{2} \\ \omega_w &= \frac{\sqrt{4h - d^2}}{2} \end{aligned} \quad (4.39)$$

gdzie:

- $\alpha$  - współczynnik tłumienia,
- $\omega_w$  - prędkość kątowa drgań kąta.

Rozważymy wszystkie możliwe przypadki tego rozwiązania:

1)  $h > 0$

W tej sytuacji rozwiązanie zależy od wzajemnej relacji wielkości  $d$  oraz  $h$ .

a)  $d^2 < 4h$

Przy małych kątach obciążenia wartości pochodnej  $\frac{dP_e}{d\delta}$  są duże a więc mamy  $d^2 < 4h$

a przebieg kąta jest postaci:

$$\Delta\delta = \delta_0 e^{-\alpha t} \left( \cos \omega_w t + \frac{\alpha}{\omega_w} \sin \omega_w t \right) \quad (4.40)$$

Z powyższego równania wynika, że mamy do czynienia drganiami tłumionymi do wartości początkowej a więc taki punkt jest punktem stabilnym.

b)  $d^2 > 4h$

Wartości własne  $\lambda_1$  oraz  $\lambda_2$  są teraz zmiennymi rzeczywistymi a rozwiązanie ma postać (4.36) przy czym mamy:

$$\begin{aligned} \lambda_1 < 0 \\ \lambda_2 < 0 \end{aligned} \quad (4.41)$$

Kąt  $\delta$  zmienia się więc aperiodycznie do wartości początkowej a więc taki punkt jest punktem stabilnym.

2)  $h < 0$

Wartości własne  $\lambda_1$  oraz  $\lambda_2$  są teraz zmiennymi rzeczywistymi a rozwiązanie ma postać (4.32) przy czym mamy:

$$\begin{aligned} \lambda_1 < 0 \\ \lambda_2 > 0 \end{aligned} \quad (4.42)$$

Kąt  $\delta$  rośnie aperiodycznie a więc taki punkt jest punktem niestabilnym.

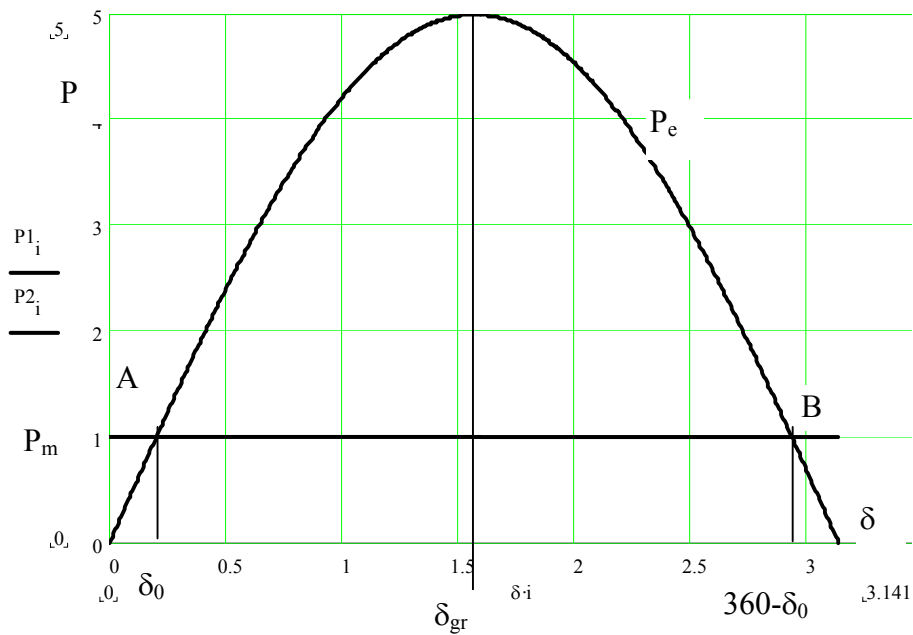
#### 4.4. Kryterium $\frac{dP}{d\delta}$ w układzie generator – sieć sztywna przy chwilowym zaburzeniu bilansu mocy czynnej

W przypadku rozważenia układu generator – sieć sztywna pominiemy w pierwszym etapie rezystancje układu. Wtedy moc elektryczna jest opisana zależnością:

$$P_e = \frac{E_g U_s}{X_E} \sin \delta \quad (4.43)$$

Zależność mocy elektrycznej i mechanicznej generatora w funkcji kąta  $\delta$  pokazano na rys. 4.2. Mamy wtedy dwa punkty pracy wynikające z przecięcia się charakterystyki  $P_e(\delta)$  z charakterystyką  $P_m$  – mocy turbiny, są to punkt A i B. W przypadku, gdy momenty mechaniczny jest równy mocy elektromagnetycznej tzn.  $M_m + M_e = 0$  czyli  $P_m + P_e = 0$  wirnik obraca się ze stałą prędkością obrotową  $\omega$ . Gdy  $P_m + P_e \neq 0$ , to wirnik zmniejsza lub zwiększa swoją prędkość  $\omega$ .





Rys. 4.2 Moc elektryczna i mechaniczna generatora w funkcji kąta  $\delta$

Wiemy, że w systemie elektroenergetycznym nie można przyjąć mocy  $P_e$  ze stałą w funkcji czasu. Załóżmy, że w pewnej chwili:

1. Został dołączony do rozpatrywanej sieci nowy odbiór o mocy  $\Delta P_e$ , przy czym odbiór ten jest załączony na pewien krótki czas –załączenie to ma charakter zakłócenia. Załóżmy dla uproszczenia, że całe  $\Delta P_e$  ma zostać pokryte przez rozważany generator. W rzeczywistości tylko część  $\Delta P_e$  będzie pokrywana przez ten generator. Wtedy moc elektryczna:

$$P_{e1} = P_e + \Delta P_e \quad (4.44)$$

jest większa od mocy  $P_m$

$$P_{e1} > P_m \quad (4.45)$$

czyli

$$M_{e1} > M_m \quad (4.46)$$

wirnik będzie hamowany czyli zacznie maleć jego prędkość obrotowa  $\omega$ , to związana z wirnikiem siła elektromotoryczna.  $E_{g1}$  zacznie zmieniać swoje położenie. Mamy teraz dwie różne sytuacje:

- a) Praca w punkcie A

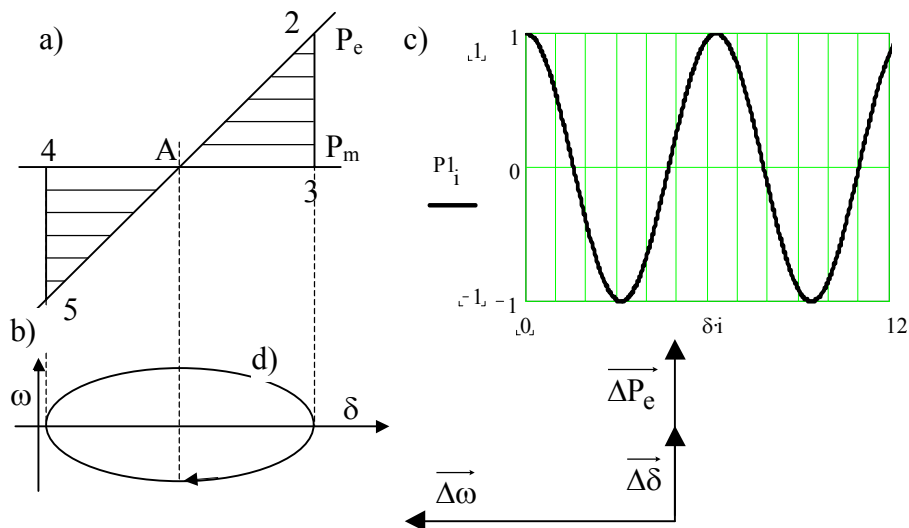
Dołączenie dodatkowej mocy powoduje, że generator znajduje się w punkcie 2 rys. 4.3a. Wirnik będzie hamowany, czyli zacznie maleć jego prędkość obrotowa wywołując zmniejszenie kąta  $\delta$  i w konsekwencji zmniejszenie mocy przesyłanej z generatora do sieci sztywnej zgodnie z charakterystyką  $P(\delta)$ . Wtedy moc niezbilansowana  $P_m - P_e(\delta_z) - \Delta P_e$  maleje. W punkcie A moc elektryczna i mechaniczna są sobie równe, lecz ruch wirnika nie zostanie zatrzymany. W trakcie swojej drogi od punktu 2 do A w wirniku została zgromadzona pewna ilość energii kinetycznej hamującej a prędkość obrotowa jest mniejsza od synchronicznej (rys. 4.3b). Energia kinetyczna hamująca zgodnie z wzorem (4.12) wynosi:

$$\Delta E_{kh} = \int (P_m - P_e) dt \quad (4.47)$$

Wykorzystując równanie (4.15) mamy:

$$\Delta E_{kh} = \int \frac{(P_m - P_e)}{\omega} d\delta = \frac{1}{\omega} \int (P_m - P_e) d\delta \quad (4.48)$$

Zakładając, że zmiany prędkości obrotowej są niewiele różne od synchronicznej to energia kinetyczna hamując jest proporcjonalna do pola powierzchni A, 2, 3. Po minięciu punktu A prędkość zacznie rosnąć. Teraz wirnik wychyli się do punktu 5 gromadząc po drodze energię kinetyczną przyspieszającą. Położenie punktu 5 wynika z równości energii kinetycznej hamującej i przyspieszającej. Można, więc stwierdzić, że pole powierzchni A, 5, 4 musi być równe polu A, 2, 3. Ten wywód nosi nazwę metody równych powierzchni. W punkcie 5 zrównały się energie kinetyczne hamująca i przyspieszająca, lecz mamy różnicę mocy. Moc napędowa jest większa od hamującej i wirnik będzie przyspieszał dalej. Na rys. 4.3b pokazano przebieg prędkości obrotowej a na rys. 4.3c przebieg różnicy pomiędzy mocą elektryczną i mechaniczną. Wahania się wirnika od punktu 2 do 5 i z powrotem będą trwałe.



Rys. 4.3 Kołysania wirnika generatora w otoczeniu punktu równowagi z pominięciem tłumienia

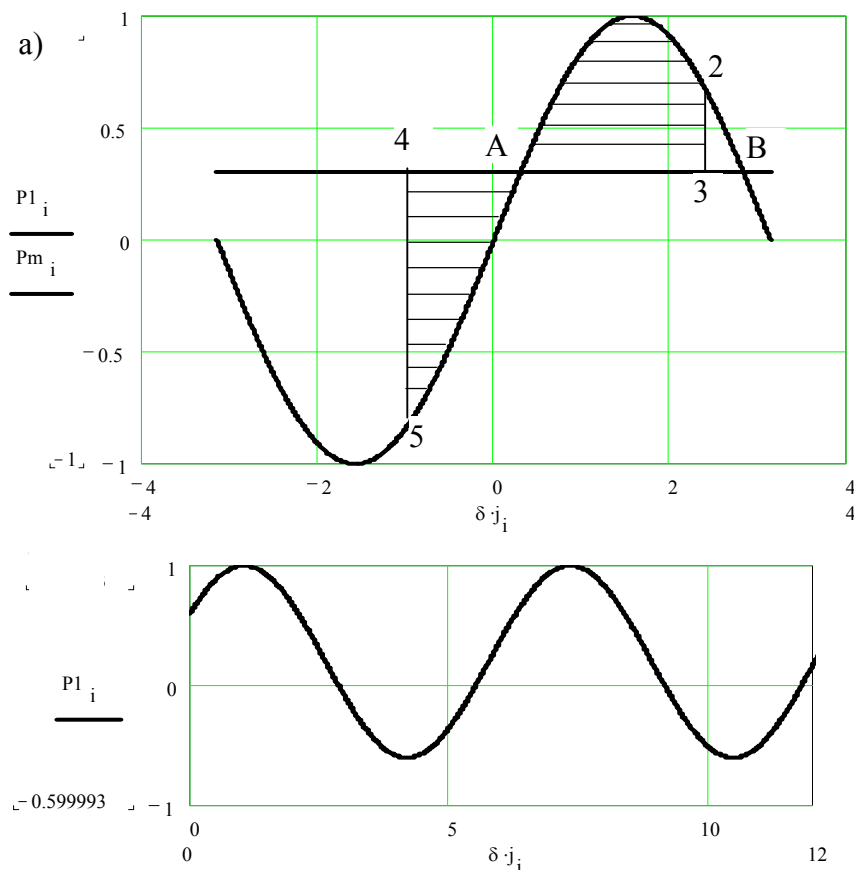
Na rys. 4.3d zaprezentowano te wielkości jako wektory. Zmiana prędkości obrotowej jako pochodna zmiany kąta wyprzedza go w fazie o  $90^\circ$ . Wektor reprezentujący zmiany mocy takie jak na rys. 4.3c jest w fazie z wektorem kąta.

#### b) Praca w punkcie B

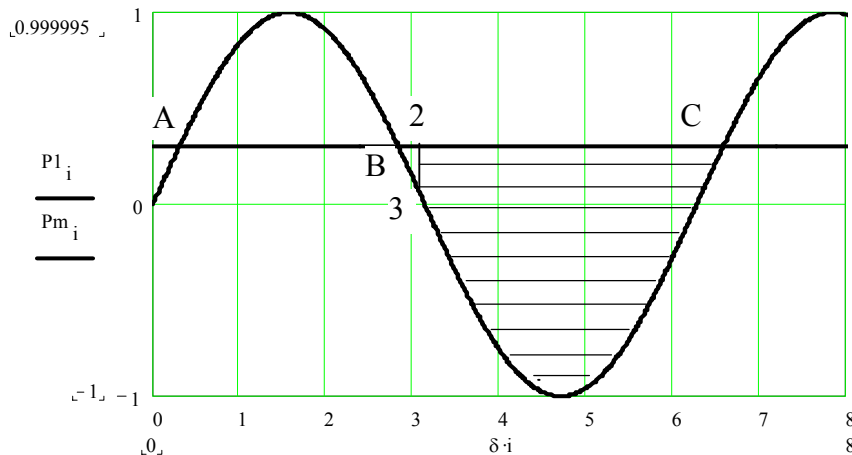
Dołączenie dodatkowej mocy powoduje, że generator znajduje się w punkcie 2 rys. 4.4a. Wirnik będzie hamowany, czyli zacznie maleć jego prędkość obrotowa wywołując zmniejszenie kąta  $\delta$  i w konsekwencji powiększenie mocy przesyłanej z generatora do sieci sztywnej zgodnie z charakterystyką  $P(\delta)$ . Wtedy moc niezbilansowana  $P_m - P_e(\delta_2) - \Delta P_e$  wzrośnie. W punkcie A moc elektryczna i mechaniczna są sobie równe, lecz ruch wirnika nie zostanie zatrzymany. W trakcie swojej drogi od punktu 2 do A w wirniku została zgromadzona pewna ilość energii

kinetycznej hamującej (pole 3, 2, A) a prędkość obrotowa jest mniejsza od synchronicznej (rys. 4.4b). W tym wypadku ustali jednak się nowy stabilny punkt pracy, punkt A, lecz nie będzie to wyjściowy punkt B.

2. Został odłączony od rozpatrywanej sieci odbiór o mocy  $\Delta P_e$ , przy czym odbiór ten jest odłączony na pewien krótki czas. Załóżmy, że całe  $\Delta P_e$  zostanie pokryte przez zmianę mocy rozważanego generatora. Wtedy moc elektryczna jest mniejsza od mocy mechanicznej wirnik będzie przyspieszany, czyli zacznie rosnąć prędkość obrotowa  $\omega$ , to związana z wirnikiem siła elektromotoryczna.  $E_{g1}$  zacznie zmieniać swoje położenie. Mamy teraz dwie różne sytuacje:
  - a) Gdy pracujemy w punkcie A powiększenie  $\delta$  powoduje powiększenie mocy przesyłanej z generatora do sieci sztywnej zgodnie z charakterystyką  $P(\delta)$ . Wtedy moc niezbilansowana  $P_m - P_e(\delta_z) - \Delta P_e$  maleje stabilizując pracę generatora.
  - b) Gdy pracujemy w punkcie B, to powiększenie kąta  $\delta$  powoduje powiększenie mocy przesyłanej z generatora do sieci sztywnej. Wtedy moc niezbilansowana  $P_m - P_e(\delta'_z) - \Delta P_e$  wzrośnie co prowadzi do destabilizacji pracy maszyny. W tym wypadku nie ustali jednak się nowy stabilny punkt pracy a prędkość wirnika będzie rosła w nieskończoność (rys. 4.5).



Rys. 4.4 Kołysania wirnika generatora w otoczeniu punktu niestabilnego z pominięciem tłumienia



Rys. 4.5 Kołysania wirnika generatora w otoczeniu punktu niestabilnego z pominięciem tłumienia

Reasumując powyższe rozważania o zmianach mocy elektrycznej można stwierdzić, że:

1. Punkt A jest punktem pracy stabilnej.
2. Punkt B jest punktem pracy stabilnej.
3. Stabilna praca jest tylko na odcinku, gdzie  $\frac{dP}{d\delta} \geq 0$ .
4. Gdy wartość  $\frac{dP}{d\delta} < 0$  praca generatora jest niestabilna.
5. Warunek  $\frac{dP}{d\delta}$  jest kryterium określania granicy równowagi statycznej.
6. Granica równowagi statycznej występuje gdy  $\frac{dP}{d\delta} = 0$ .

Moc, jaka płynie w układzie gdy  $\frac{dP}{d\delta} = 0$  mocą taką nazywamy mocą graniczną równowagi statycznej. Przy mocy granicznej mamy w rozważanym układzie  $\delta_{gr} = 90^\circ$ .

Pochodną mocy po kącie:

$$\frac{dP}{d\delta} = \frac{E_g U_S}{X_E} \cos \delta \quad (4.49)$$

nazywamy **mocą synchronizującą** generatora. Moc synchronizująca jest miarą zapasu stabilności generatora.

W sytuacji gdyby zmiana mocy elektrycznej nie była chwilowa, a w rzeczywistym układzie często mamy do czynienia z taką sytuacją, to zacznie spadać częstotliwość ze stałą czasową proporcjonalną do  $T_m = (6-12)s$ . Wówczas zaczną reagować regulatory pierwotne turbiny i ewentualnie regulator wtórny i ustala nowy punkt pracy. Sytuacja tak zostanie dokładnie przeanalizowana w jednym z następnych podrozdziałów.

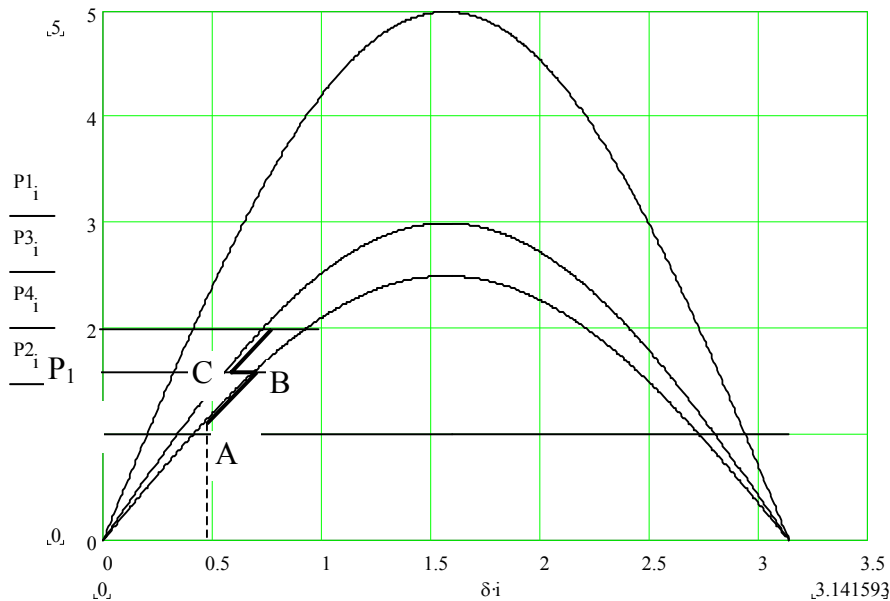
Dotychczas analizowano generator, gdy brak jest działania jego regulatorów wzbudzenia. Wtedy granicę równowagi statycznej nazywamy naturalną granicą równowagi statycznej. Rozważmy teraz układ, w którym generator jest jednak wyposażony w regulator wzbudzenia. Regulator wzbudzenia stara się utrzymać stałe napięcie generatora poprzez zmianę napięcia wzbudzenia z ograniczeniami wynikającymi z dopuszczalnego jego zakresu pracy. Rozważany regulator wzbudzenia może być:

1. Powolny,
2. Szybki.

Jako regulator szybki będziemy uważali taki regulator, który utrzymuje stałą wartość napięcia na zaciskach generatora bezpośrednio po zmianie obciążenia.

W regulatorze powolnym (rys. 4.3) po zmianie obciążenia z wartości  $P_0$  (punkt A) do  $P_1$  następuje zmiana kąta zgodnie z wyjściową charakterystyką (punkt B) a dopiero później regulator zwiększa napięcie wzbudzenia tak, aby napięcie na zaciskach generatora było stałe. Zmiana napięcia wzbudzenia powoduje powiększenie siły elektromotorycznej generatora w efekcie charakterystyki  $P(\delta)$ . Generatora znajdzie się w punkcie C. Kolejne etapy pracy są więc następujące:

- Zwiększenie obciążenia przy stałym wzbudzeniu,
- Zwiększenie napięcia wzbudzenia.



Rys. 4.6 Moc elektryczna i mechaniczna generatora w funkcji kąta  $\delta$  w przypadku, gdy generator jest wyposażony w wolne regulatory wzbudzenia

W regulatorze szybkim (rys. 4.7) po zmianie obciążenia z wartości  $P_0$  do  $P_1$  następuje natychmiastowa zmiana napięcia wzbudzenia tak, że napięcie na zaciskach generatora pozostaje stałe. W wyniku zamiast klasycznej  $P(\delta)$  otrzymujemy krzywą 1. Warunek  $\frac{dP}{d\delta} = 0$  jest dla niej

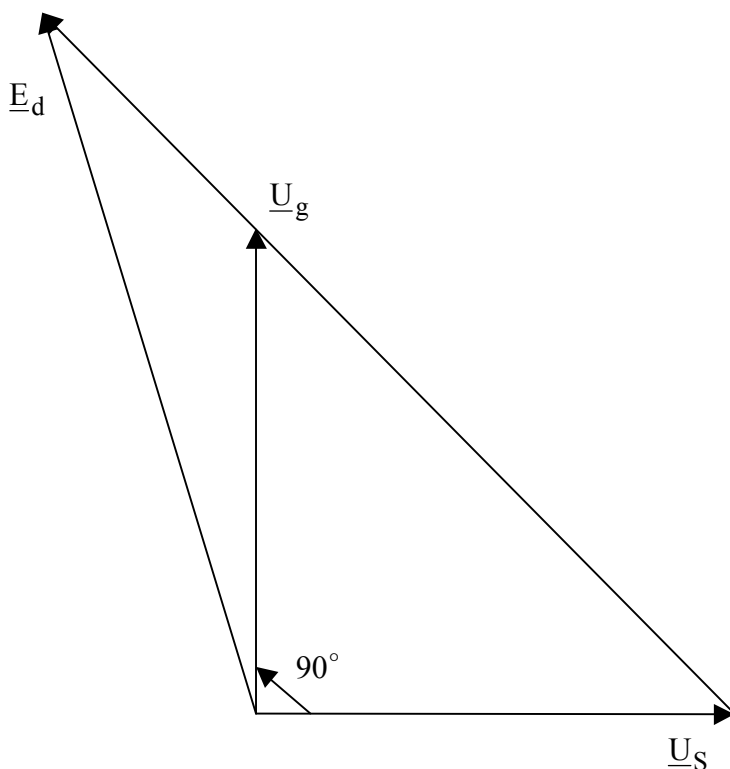
spełniony przy kącie  $\delta > 90^\circ$ . W aktualnie stosowanych regulatorach osiąga się  $\delta \approx 120^\circ$ . Jest to tzw. sztuczna (dynamiczna) granica równowagi statycznej. Moc graniczna jest wtedy większa w stosunku do mocy granicznej równowagi naturalnej. Dynamiczna moc graniczna jest określona poprzez:

- napięcie sieci sztywnej,
- napięcie na zaciskach generatora,
- impedancję pomiędzy napięciem sieci sztywnej a napięciem na zaciskach generatora.

Na rys. 4.5 zaprezentowano wykres wskazowy generatora i sieci sztywnej w przypadku występowania sztucznej granicy równowagi statycznej.



Rys. 4.7 Moc elektryczna i mechaniczna generatora w funkcji kąta  $\delta$  w przypadku, gdy generator jest wyposażony w szybkie regulatory wzbudzenia



Rys. 4.8 Wykres wskazowy generatora w przypadku występowania sztucznej granicy równowagi statycznej

Z powyższego wykresu wskazowego wynika, że kąt  $90^\circ$  jest tu również utrzymywany jednak nie pomiędzy siłą elektromotoryczną generatora i napięciem sieci sztywnej a pomiędzy napięciem na zaciskach generatora i napięciem sieci sztywnej.

Określenie punktu pracy względem granicy równowagi definiuje się przez trzy współczynniki zapasu stabilności statycznej:

$$k_p = \frac{P_{gr} - P_o}{P_o} \quad (4.50)$$

$$k_\delta = \frac{\delta_{gr} - \delta_o}{\delta_o} \quad (4.51)$$

$$k_u = \frac{U_o - U_{gr}}{U_o} \quad (4.52)$$

gdzie:

- $P_o, \delta_o, U_o$  – wartości w punkcie pracy,
- $P_{gr}, \delta_{gr}, U_{gr}$  – wartości graniczne.

#### 4.5. Zastosowanie kryterium $\frac{dP}{d\delta}$ w układzie wielomaszynowym

W przestrzeni o współrzędnych  $(\delta_{1,n}, \delta_{2,n}, \dots, \delta_{n-1,n})$  każdy punkt jest

- stabilny lokalnie
- niestabilny lokalnie.

Zbiór punktów stabilnych nazywamy obszarem stabilności lokalnej. Wewnątrz tego obszaru mamy stany stabilne. Na zewnątrz niestabilne. Brzeg obszaru stabilności nazywamy powierzchnią stanów granicznych. Stosowanie kryterium  $\frac{dP}{d\delta}$  w odniesieniu do maszyny synchronicznej polega na

ustaleniu zmiany mocy elektrycznej maszyny  $dP$  wywołanego zmianą kąta  $\delta$  o  $d\delta$  lub odwrotnie. W tym przypadku zakłada się, że :

- wzbudzenia wszystkich maszyn synchronicznych są stałe,
- regulatory w elektrowniach utrzymują stałą częstotliwość sieci.

Zakładamy dodatkowo, że znamy pewien stan wyjściowy do obliczeń tzn. rozptyły mocy i SEM generatora. Dla celów tych obliczeń odbiory modelujemy stałą impedancją. Ponieważ trudno jest przewidzieć, w jaki sposób zmiana obciążenia podzieli się pomiędzy maszyny trzeba ten podział założyć arbitralnie. Do tych rozważań możemy wyróżnić trzy stany pracy w zastępczym systemie elektroenergetycznym:

1. jedna z maszyn synchronicznych pracuje jako silnik i reprezentuje odbiory,
2. wszystkie maszyny są generatorami synchronicznymi – oddają moc,
3. w systemie występuje węzeł, który możemy nazwać siecią sztywną.

W przypadku 1) zwiększamy moc pobieraną przez silniki i moc oddawaną przez badany generator.

Badany znak  $\frac{dP}{d\delta}$ . Jeżeli układ jest w równowadze powiększamy obciążenie aż do osiągnięcia

granicy równowagi. Następnie wykonujemy tą metodę dla innego generatora. W ten sposób otrzymujemy kąty  $\delta_{i,n}$  granicy równowagi statycznej. W przypadku drugim jedną maszynę odciażamy a druga dociażamy. Reszta postępowania bez zmian. W przypadku 3) dociażamy sieć sztywną o obciążony wybrany generator.

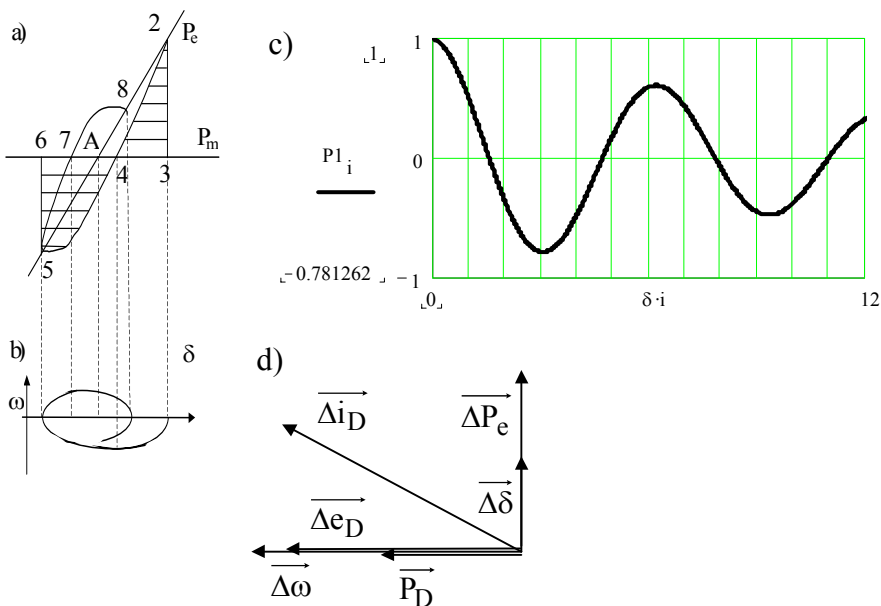
Zastosowanie kryterium  $\frac{dP}{d\delta}$  w układzie wielomaszynowym daje najbardziej pesymistyczne wyniki, albowiem zakłada się, że tylko jeden generator pokrywa zwiększone obciążenie.

#### 4.6. Kołysania wirnika generatora z uwzględnieniem tłumienia i regulacji wzbudzenia

Rozważymy teraz wpływ tłumienia pochodzącego od uzwojeń tłumiących na przebiegi kołysań wirnika generatora. W tym celu przeanalizujemy przypadek pracy generatora w punkcie stabilnym A i pojawieniu się dodatkowego obciążenia mocą czynną. Dołączenie dodatkowej mocy powoduje, że generator znajduje się w punkcie 2 rys. 4.9a. Wirnik będzie hamowany, czyli zacznie maleć jego prędkość obrotowa wywołując zmniejszenie kąta  $\delta$  i w konsekwencji zmniejszenie mocy przesyłanej z generatora do sieci sztywnej. Prędkość obrotowa jest różna od synchronicznej a więc pojawia się poślizg  $\Delta\omega$  i tym samym ostatni składnik w równaniu (4.18) staje się różny od zera. Moc elektryczna jest zmniejszana o składnik proporcjonalny do mocy tłumiącej  $P_D$ . Ruch wirnika nie odbywa się po charakterystyce  $P(\delta)$ , lecz poniżej. W wyniku pole hamowania jest określone punktami 2, 3, 4 a nie jak poprzednio 2, 3, A. W punkcie 4 mamy najmniejszą prędkość obrotową wirnika. W tej sytuacji wirnik również w ruchu przyspieszającym nie osiągnie takiego kąta jak uprzednio punktu 4 z rys. 4.3a lecz punkt 6 na rys. 4.9a a moc nie osiągnie wartości takiej jak w chwili początkowej, lecz mniejszą rys. 4.9c. Wychylenie do punktu 5 z rys. 4.9a będzie takie aby zakreskowane pole górne 2, 3, 4 (energia kinetyczna hamująca) było równe zakreskowanemu polu dolnemu 4, 5, 6 (energia kinetyczna przyspieszająca). W punkcie 5 wirnik zaczyna mieć dodatni poślizg (rys. 4.9b) i dlatego moc tłumiąca zmienia znak i dodaje się do mocy elektrycznej. Krzywa zmian mocy w funkcji kąta leży powyżej charakterystyki mocy elektrycznej generowanej. Ruch przebiega do punktu 5 przez 7 do 8. W punkcie 7 znów mamy równość mocy, lecz nie energii kinetycznych i prędkości i dlatego drgania trwają dalej. Punktem końcowym tych drgań będzie punkt A. Na rys. 4.9b naszkicowano początkowy przebieg prędkości obrotowej wirnika w funkcji kąta  $\delta$ . Jest to tzw. portret fazowy, czyli najlepszy widok zmiennych stanu. Rys. 4.9c obrazuje przebieg zmian mocy czynnej w funkcji czasu. Widać z niego oscylacyjny tłumiony charakter tych zmian.

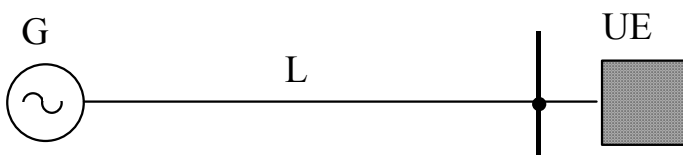
Rys. 4.9d obrazuje nam zmienne uczestniczące w procesie zaprezentowane jako wektory. Tak jak na rys. 4.3d tak i tu zmiana prędkości obrotowej jako pochodna zmiany kąta wyprzedza go w fazie o  $90^\circ$ . Wektor reprezentujący zmiany mocy jest w fazie z wektorem kąta. Uzwojenie tłumiące generatora zachowuje się jak klatka silnika asynchronicznego, jeśli tylko pojawi się zmiana prędkości obrotowej wirnika. W uzwojeniu tłumiącym indukuje się siła elektromotoryczna proporcjonalna do poślizgu i leżąca w fazie z nim. Znaczna rezystancja uzwojenia tłumiącego powoduje, że prąd w uzwojeniu tłumiącym jest opóźniony w fazie względem siły elektromotorycznej. Moc tłumiąca jest równa iloczynowi siły elektromotorycznej i rzutowi prądu tłumienia na oś siły elektromotorycznej. Z tego rozważania widać, że rezystancja uzwojenia tłumiącego powinna być duża w porównaniu do jego reaktancji.





Rys. 4.9 Kołysania wirnika generatora z uwzględnieniem tłumienia

Rozważymy wpływ układu regulacji napięcia na przebieg procesu kołysań wirnika wywołanych zakłóceniem w poborze mocy czynnej. W tym celu wyprowadzimy zależność na napięcie na zaciskach generatora w funkcji kąta pomiędzy jego siłą elektromotoryczną i napięciem sieci sztywnej (rys. 4.10).



Rys. 4.10 Schemat sieci do określenia napięcia

Prąd płynący w układzie z rys. 4.10 wynosi:

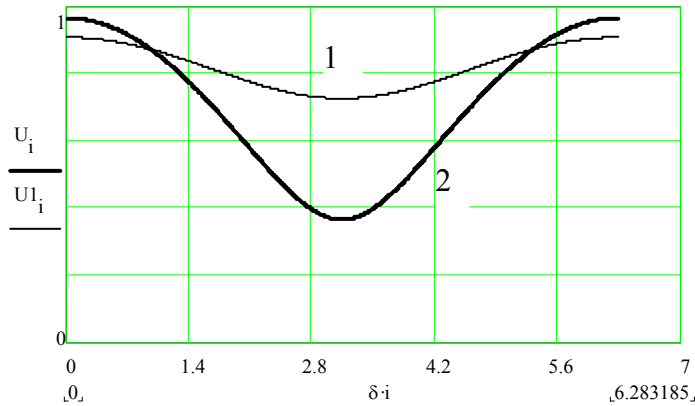
$$I_G = \frac{E'_d e^{j\delta} - U_S}{j(X'_d + X)} \quad (4.53)$$

Stąd napięcie generatora:

$$\begin{aligned} \underline{U}_G &= U_S + jX I_G = U_S + \frac{X}{X'_d + X} E'_d e^{j\delta} - \frac{X}{X'_d + X} U_S = \\ &= \frac{X}{X'_d + X} \left[ \left( \frac{X'_d}{X} U_S + E'_d \cos \delta \right) + j E'_d \sin \delta \right] \quad (4.54) \end{aligned}$$

Moduł napięcie generatora:

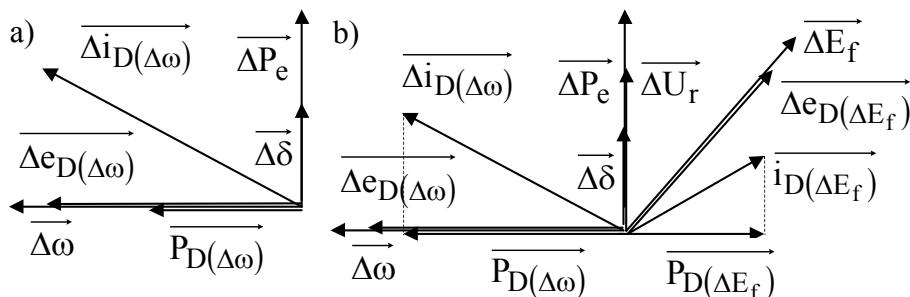
$$U_G = \frac{X}{X'_d + X} \sqrt{\left( \frac{X'_d}{X} U_S \right)^2 + 2 \cdot \frac{X'_d}{X} \cdot U_S \cdot E'_d \cdot \cos \delta + (E'_d)^2} \quad (4.55)$$



Rys. 4.11 Przebieg napięcia na zaciskach generatora w funkcji kąta  $\delta$ , przy czym: 1 – dla małej wartości reaktancji sieci, 2 - dla dużej wartości reaktancji sieci

Przebieg napięcia na zaciskach generatora w funkcji kąta  $\delta$  w zależności od stosunku reaktancji sieci do reaktancji generatora zgodnie z wzorem (4.55) pokazano na rys. 4.11. Z wykresu tego wynika, że podczas kołysań wirnika wywołanych zakłóceniem w poborze mocy czynnej powstają znaczne zmiany napięcia generatora. Zmiany te będą zauważone przez regulator napięcia generatora, który obserwując obniżenie napięcia generatorowego zareaguje i podniesie napięcie wzbudzenie a w konsekwencji napięcie na zaciskach generatora. Zwiększenie się napięcia generatorowego powyżej wartości zadanej regulatora spowoduje obniżenie napięcia wzbudzenia, czyli napięcie na zaciskach generatora.

Uzwojenie tłumiące leży w osi synchronicznej podłużnej maszyny. W tej samej osi leży uzwojenie wzbudzające generatora. W tej sytuacji zmiany prądu wzbudzenia są transformowane nie tylko do uzwojeń statora, ale także do uzwojenia tłumiącego. Na rys. 4.12a zaprezentowano wykres wskazowy działania układu tłumienia bez regulacji wzbudzenia – powtórzenie wykresu z rys. 4.9d. Wykres wskazowy na rys. 4.12b uzupełniono o wskaźy powstające w wyniku działania układu regulacji wzbudzenia.



Rys. 4.12 Wykres wskazowy dla układu tłumienia:

- bez regulacji wzbudzenia,
- z regulacją wzbudzenia.

W automatycznym regulatorze napięcia (wzbudzenia) wielkość mierzona, czyli napięcie i wielkość zadana tworzą uchyb regulacji:

$$\Delta U_r = U_{\text{zad}} - U \quad (4.56)$$

Z rys. 4.11 wynika, że pochodna napięcia po kącie  $\delta$  jest ujemna w stabilnym obszarze pracy, czyli:

$$\Delta U_r = -\frac{\partial U}{\partial \delta} \partial \delta = K_r \partial \delta \quad (4.57)$$

Współczynnik regulacji  $K_r$  jest więc pewną liczbą dodatnią a z powyższego wzoru wynika, że uchyb regulacji jest wielkością proporcjonalną do zmian kąta i na wykresie wskazowym jego wektor  $\overrightarrow{\Delta U_r}$  będzie w fazie z wektorem  $\overrightarrow{\Delta \delta}$ . Automatyczny regulator napięcia wzmacnia uchyb regulacyjny wymuszając we wzbudnicy generatora zmianę napięcia wzbudzenia o wartość  $\Delta E_f$ . Automatyczny regulator napięcia i wzbudnica mają pewną bezwładność to na wykresie wskazowym wektor  $\overrightarrow{\Delta E_f}$  będzie się opóźniał o pewien kąt w stosunku do wektora uchybu regulacyjnego  $\overrightarrow{\Delta U_r}$ . To opóźnienie wynika ze stałych czasowych regulatora i wzbudnicy. Zmiana napięcia wzbudzenia o wartość  $\Delta E_f$  spowoduje powstanie w uzwojeniu tłumiącym siły elektromotorycznej  $e_{D(\Delta E_f)}$ . Wektor tej siły  $e_{D(\Delta E_f)}$  leży w fazie z wektorem wymuszającym. Pod wpływem siły elektromotorycznej  $e_{D(\Delta E_f)}$  w uzwojeniu tłumiącym popłynie prąd  $i_{D(\Delta E_f)}$ , którego wskaz  $\overrightarrow{i_{D(\Delta E_f)}}$  będzie opóźniony w stosunku do siły elektromotorycznej o pewien kąt wynikający ze stosunku rezystancji do reaktancji obwodu tłumiącego.

Jak wynika z tej analizy prąd płynący w uzwojeniu tłumiącym a wywołany zmianami napięcia wzbudzenia odejmuje się od prądu płynącego w uzwojeniu tłumiącym a wywołanym zmianami prędkości obrotowej wirnika. Oznacza to, że prąd płynący w uzwojeniu tłumiącym w wyniku działania regulatora napięcia osłabia prąd płynący w uzwojeniu tłumiącym a wywołanym zmianami prędkości obrotowej wirnika a w konsekwencji zmniejsza moc tłumiącą. Z wykresu na rys. 4.12b oraz tej analizy wynika, że znak wypadkowej mocy tłumiącej zależy od wzajemnej relacji tych dwóch prądów i tak:

- Gdy rzut na oś poślizgu prądu płynącego w uzwojeniu tłumiącym a wywołanego zmianami prędkości obrotowej wirnika  $i_{D(\Delta \omega)}$  jest większy od rzutu na oś poślizgu prądu płynącego w uzwojeniu tłumiącym w wyniku działania regulatora napięcia  $i_{D(\Delta E_f)}$  to moc tłumiąca ma znak dodatni, czyli ma charakter tłumiący.
- Gdy rzut na oś poślizgu prądu płynącego w uzwojeniu tłumiącym a wywołanego zmianami prędkości obrotowej wirnika jest mniejszy od rzutu na oś poślizgu prądu płynącego w uzwojeniu tłumiącym w wyniku działania regulatora napięcia to moc tłumiąca ma znak ujemny, czyli powiększa wahania wirnika a dalej prowadzi do utraty stabilności.

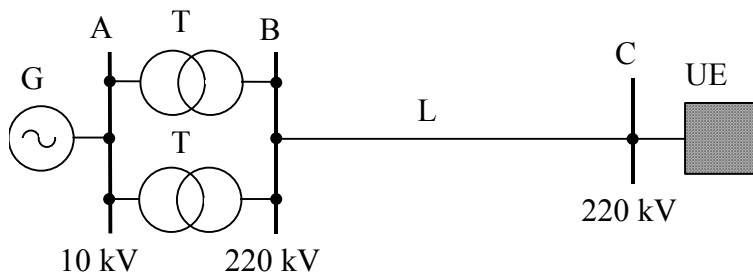
Zostaną teraz przeanalizowane czynniki prowadzące do pojawienia się ujemnej mocy tłumiącej. Do tych czynników zaliczymy:

1. Wielkością wyjściową tej analizy był uchyb regulacyjny regulatora napięcia. Duży uchyb regulacyjny to w efekcie duży prąd płynący w uzwojeniu tłumiącym w wyniku działania regulatora napięcia. Duży efekt regulacyjny może być spowodowany przez:
  - Z rys. 4.11 wynika jednoznacznie, że przez dużą reaktancję pomiędzy generatorem (elektrownią) a węzłem sieci sztywnej.
  - Duże obciążenie sieci.
  - Duże wzmocnienie regulatora napięcia bardzo korzystne dla regulacji napięcia (napięcie szybciej wraca do wartości zadanej), ale niekorzystne dla tłumienia.
  - Duże opóźnienie wprowadzane przez układ regulacji napięcia a więc niekorzystna jest wzbudnica elektromaszynowa w odróżnieniu od wzbudnicy tyrystorowej.

## 4.7. Zadania

## 4.7.1 Zadanie 1

Obliczyć moc graniczną równowagi statycznej układu jak na rys. 4.13.



Rys. 4.13 Schemat sieci

Dane:

$$G: S_N=150 \text{ MVA} \quad X_d=150 \% \quad U_{NG}=10,5 \text{ kV},$$

$$T: S_N=100 \text{ MVA} \quad \Delta U_z=12 \% \quad v=220/10,5,$$

$$L: X_k=0,4 \Omega/\text{km} \quad l=150 \text{ km},$$

$$UE: S_z=\infty \quad U_s=215 \text{ kV}.$$

Zadanie rozwiązać dla trzech przypadków.

1. Generator nie jest wyposażony w regulator wzbudzenia. Obciążony jest mocą  $P_n=150 \text{ MW}$ ;  $\cos \varphi=1$ ;  $U_g=10,5 \text{ kV}$ .
2. Generator jest wyposażony w szybki regulator wzbudzenia utrzymujący  $U_g=10,5 \text{ kV}$ .
3. Generator jest wyposażony w wolny regulator wzbudzenia utrzymujący  $U_g=10,5 \text{ kV}$ .

Rozwiązanie:

1. Impedancje elementów na poziomie 10.5 kV

$$X_G = \frac{X_d}{100} \frac{U_N^2}{S_N} = \frac{150}{100} \frac{10,5^2}{150} = 1,10 \Omega$$

$$X_T = \frac{\Delta U_z}{100} \frac{U_N^2}{2S_N} = \frac{12}{100} \frac{10,5^2}{2 \cdot 100} = 0,0662 \Omega$$

$$X_L = X_k l \vartheta_T^2 = 0,4 \cdot 150 \cdot \left( \frac{10,5}{220} \right)^2 = 0,137 \Omega$$

$$X_\Sigma = X_G + X_T + X_L = 1,10 + 0,0662 + 0,137 = 1,31 \Omega$$

2. Przypadek 1: generator nie jest wyposażony w regulator wzbudzenia

$$U_{S10,5} = U_S \frac{1}{\vartheta_T} = 215 \frac{10,5}{220} = 10,3 \text{ kV}$$

$$\begin{aligned}\underline{E}_G &= U_{G10.5} + j \frac{P_G X_G}{U_{G10.5}} = 10.5 + j \frac{150 \cdot 1.10}{10.5} = \\ &= 10.5 + j15.8 = 18.9 e^{j56.3^\circ} \text{ kV}\end{aligned}$$

$$P_{gr} = \frac{E_G U_{S10.5}}{X_\Sigma} = \frac{18.9 \cdot 10.3}{1.31} = 149 \text{ MW}$$

3. Przypadek 2: generator jest wyposażony w szybki regulator wzbudzenia

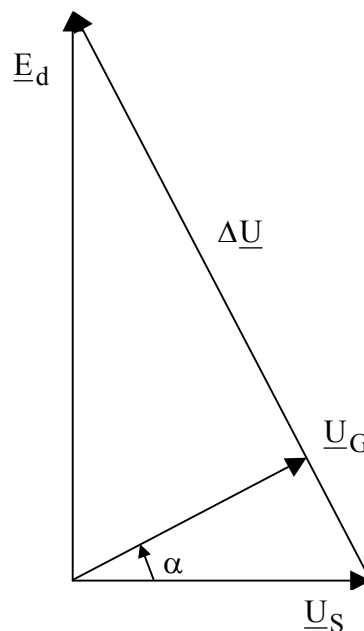
$$P_{gr} = \frac{U_G U_{S10.5}}{X_T + X_L} = \frac{10.5 \cdot 10.3}{0.0662 + 0.137} = 531 \text{ MW}$$

4. Przypadek 3: generator jest wyposażony w wolny regulator wzbudzenia

W tym przypadku znamy napięcie sieci sztywnej oraz napięcie generatora a musimy wyznaczyć siłę elektromotoryczną generatora. Wiemy także, że napięcie sieci sztywnej i siła elektromotoryczna generatora tworzą kąt  $90^\circ$  oraz że napięcie generatora jest prostopadłe do wektora strat napięcia równemu różnicy wektorowej siły elektromotorycznej generatora i napięcia sieci sztywnej. Sytuacja ta została pokazana na rys.4.14.

W celu wyznaczenia siły elektromotorycznej zastosujemy metodę iteracyjną. Założymy, że  $\alpha = 20^\circ$ . Wtedy:

$$\underline{U}_G = 10.5 e^{j20^\circ} \text{ kV}$$



Rys. 4.14 Wykres wskazowy napięcia sieci sztywnej, napięcia i siły elektromotorycznej generatora wyposażonego w wolny regulator wzbudzenia

$$\begin{aligned}\Delta \underline{U}_{GS} &= \underline{U}_G - \underline{U}_S = 10.5 (\cos 20^\circ + j \sin 20^\circ) - 10.3 = \\ &= (-0.433 + j3.59) \text{ kV}\end{aligned}$$

Znając to napięcie można wyliczyć  $\Delta \underline{U}$  :

$$\begin{aligned}\Delta \underline{U} &= \Delta \underline{U}_{GS} \frac{X_G + X_T + X_L}{X_T + X_L} = (-0.433 + j3.59) \frac{1.31}{0.203} = \\ &= (-2.79 + j23.1) \text{ kV}\end{aligned}$$

Część rzeczywista  $\Delta \underline{U}$  powinna być równa napięciu sieci sztywnej ze znakiem minus, wniosek przyjęto zbyt mały kąt. Założymy, że  $\alpha = 30^\circ$ . Wtedy:

$$\begin{aligned}\Delta \underline{U}_{GS} &= \underline{U}_G - \underline{U}_S = 10.5 (\cos 30^\circ + j \sin 30^\circ) - 10.3 = \\ &= (-1.21 + j5.25) \text{ kV}\end{aligned}$$

$$\begin{aligned}\Delta \underline{U} &= \Delta \underline{U}_{GS} \frac{X_G + X_T + X_L}{X_T + X_L} = (-1.21 + j5.25) \frac{1.31}{0.203} = \\ &= (-7.80 + j33.8) \text{ kV}\end{aligned}$$

Założymy, że  $\alpha = 35^\circ$ . Wtedy:

$$\begin{aligned}\Delta \underline{U}_{GS} &= \underline{U}_G - \underline{U}_S = 10.5 (\cos 35^\circ + j \sin 35^\circ) - 10.3 = \\ &= (-1.70 + j6.02) \text{ kV}\end{aligned}$$

$$\begin{aligned}\Delta \underline{U} &= \Delta \underline{U}_{GS} \frac{X_G + X_T + X_L}{X_T + X_L} = (-1.70 + j6.02) \frac{1.31}{0.203} = \\ &= (-11.0 + j38.8) \text{ kV}\end{aligned}$$

Założymy, że  $\alpha = 34^\circ$ . Wtedy:

$$\begin{aligned}\Delta \underline{U}_{GS} &= \underline{U}_G - \underline{U}_S = 10.5 (\cos 34^\circ + j \sin 34^\circ) - 10.3 = \\ &= (-1.60 + j5.87) \text{ kV}\end{aligned}$$

$$\begin{aligned}\Delta \underline{U} &= \Delta \underline{U}_{GS} \frac{X_G + X_T + X_L}{X_T + X_L} = (-1.60 + j5.87) \frac{1.31}{0.203} = \\ &= (-10.3 + j37.9) \text{ kV}\end{aligned}$$

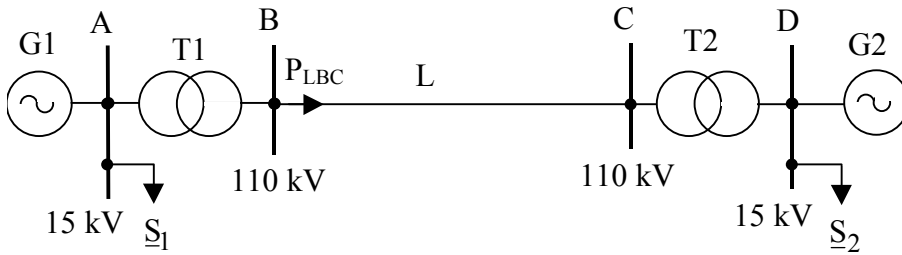
Siła elektromotoryczna generatora jest równa części urojonej napięcia  $\Delta \underline{U}$  czyli:

$$E_d = 37.9 \text{ kV}$$

$$P_{gr} = \frac{E_G U_S}{X_\Sigma} = \frac{37.9 \cdot 10.3}{1.31} = 298 \text{ MW}$$

## 4.7.2 Zadanie 2

Obliczyć moc graniczną równowagi statycznej układu jak na rys. 4.15.



Rys. 4.15 Schemat sieci

Dane:

G1:	$S_N=600$ MVA	$X_d=150$ %	$U_{NG}=15,75$ kV,
G2:	$S_N=600$ MVA	$X_d=150$ %	$U_{NG}=15,75$ kV,
T1:	$S_N=315$ MVA	$\Delta U_z=12$ %	$u=110/15$ ,
T2:	$S_N=315$ MVA	$\Delta U_z=12$ %	$u=110/15$ ,
L:	$X_k=0,4\Omega/\text{km}$	$l=10$ km,	
$P_1=200$ MW,	$\cos\varphi_1=0.8$ ind.	$U_A=15.75$ kV,	
$P_2=200$ MW,	$\cos\varphi_2=0.8$ ind.	$U_D=15.75$ kV,	
$P_{LBC}=100$ MW.			

Generator nie jest wyposażony w regulator wzbudzenia.

Rozwiązanie:

1. Impedancje elementów na poziomie 15 kV

$$X_{G1} = X_{G2} = \frac{X_d}{100} \frac{U_N^2}{S_N} = \frac{150}{100} \frac{15.75^2}{600} = 0.620 \Omega$$

$$X_{T1} = X_{T2} = \frac{\Delta U_z}{100} \frac{U_N^2}{S_N} = \frac{12}{100} \frac{15.75^2}{315} = 0.0945 \Omega$$

$$X_L = X_k 19_T^2 = 0.4 \cdot 10 \cdot \left(\frac{15}{110}\right)^2 = 0.0744 \Omega$$

2. Obliczenia mocy w węzłach A i D

$$\underline{S}_1 = P_1 + j \frac{P_1}{\cos\varphi_1} \sin\varphi_1 = 200 + j \frac{200}{0.8} 0.6 = (200 + j150) \text{ MVA}$$

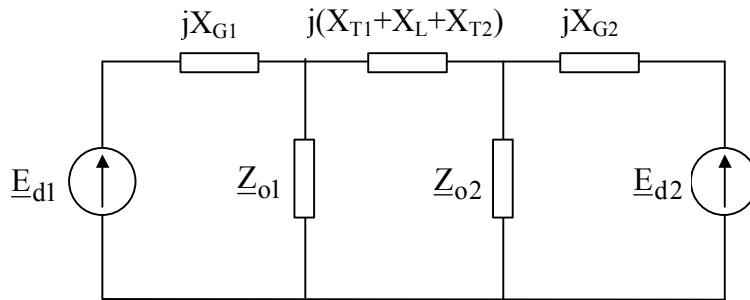
$$\underline{S}_2 = P_2 + j \frac{P_2}{\cos\varphi_2} \sin\varphi_2 = 200 + j \frac{200}{0.8} 0.6 = (200 + j150) \text{ MVA}$$

3. Zastąpienie odbiorów impedancjami

$$\underline{Z}_{o1} = \frac{U_A^2}{\underline{S}_1^*} = \frac{15.75^2}{200 - j150} = (0.7938 + j0.5953) \Omega$$

$$\underline{Z}_{o2} = \frac{U_D^2}{\underline{S}_2^*} = \frac{15.75^2}{200 - j150} = (0.7938 + j0.5953) \Omega$$

## 4. Schemat zastępczy



Rys. 4.16 Schemat zastępczy sieci

## 5. Obliczenia impedancji własnej generatora 1

$$\underline{Z}_a = \frac{jX_{G2} \underline{Z}_{o2}}{jX_{G2} + \underline{Z}_{o2}} = \frac{j0.620 \cdot (0.7938 + j0.5953)}{j0.620 + 0.7938 + j0.5953} = (0.1448 + j0.3983) \Omega$$

$$\begin{aligned} \underline{Z}_b &= \underline{Z}_a + j(X_{T1} + X_L + X_{T2}) = \\ &= 0.1448 + j0.3983 + j0.0945 \cdot 2 + j0.0744 = \\ &= (0.1448 + j0.6617) \Omega \end{aligned}$$

$$\underline{Z}_c = \frac{\underline{Z}_b \underline{Z}_{o1}}{\underline{Z}_b + \underline{Z}_{o1}} = \frac{(0.1448 + j0.6617)(0.7938 + j0.5953)}{0.1448 + j0.6617 + 0.7938 + j0.5953} = (0.2059 + j0.3757) \Omega$$

$$\begin{aligned} \underline{Z}_{11} &= \underline{Z}_c + jX_{G1} = 0.2059 + j0.3757 + j0.620 = \\ &= (0.2059 + j0.9957) \Omega = 1.0168 e^{j78.3^\circ} \Omega \end{aligned}$$

## 6. Obliczenia impedancji własnej generatora 2

Wobec pełnej symetrii schematu zastępczego warto zauważyć, że impedancja własna generatora 2 będzie równa impedancji własnej generatora 1, czyli:

$$\underline{Z}_{22} = 1.0168 e^{j78.3^\circ} \Omega$$



## 7. Obliczenia impedancji wzajemnej generator 1 - generator 2

W celu obliczenia impedancji wzajemnej generator 1 - generator 2 musimy przekształcić dwie gwiazdy występujące w schemacie zastępczym na trójkąty. Zaczniemy od gwiazdy złożonej z impedancji:  $jX_{G1}$ ,  $\underline{Z}_{o1}$  oraz  $j(X_{T1} + X_L + X_{T2})$ .

$$\begin{aligned}\underline{Z}_{G1D} &= jX_{G1} + j(X_{T1} + X_L + X_{T2}) + \frac{jX_{G1} \cdot j(X_{T1} + X_L + X_{T2})}{\underline{Z}_{o1}} = \\ &= j0.620 + j0.2634 + \frac{j0.620 \cdot j0.5906}{0.7938 + j0.5953} = \\ &= (-0.1317 + j0.9822)\Omega\end{aligned}$$

$$\begin{aligned}\underline{Z}_{D0} &= \underline{Z}_{o1} + j(X_{T1} + X_L + X_{T2}) + \frac{\underline{Z}_{o1} j(X_{T1} + X_L + X_{T2})}{jX_{G1}} = \\ &= 0.7938 + j0.5953 + j0.2634 + \frac{(0.7938 + j0.5953) \cdot j0.2634}{j0.620} = \\ &= (1.1310 + j1.1117)\Omega\end{aligned}$$

Teraz trzeba połączyć równolegle gałęzie:  $\underline{Z}_{D0}$  oraz  $\underline{Z}_{o2}$  w wyniku mamy:

$$\begin{aligned}\underline{Z}_{DD} &= \frac{\underline{Z}_{D0} \cdot \underline{Z}_{o2}}{\underline{Z}_{D0} + \underline{Z}_{o2}} = \frac{(1.131 + j1.1117) \cdot (0.7938 + j0.5953)}{1.131 + j1.1117 + 0.7938 + j0.5953} = \\ &= (0.4699 + j0.3916)\Omega\end{aligned}$$

Następnie przekształcamy gwiazdę impedancji:  $\underline{Z}_{DD}$ ,  $\underline{Z}_{G1D}$  oraz  $jX_{G2}$  na trójkąt w wyniku mamy impedancję  $\underline{Z}_{12}$ .

$$\begin{aligned}\underline{Z}_{12} &= \underline{Z}_{G1D} + jX_{G2} + \frac{\underline{Z}_{G1D} \cdot jX_{G2}}{\underline{Z}_{DD}} = \\ &= -0.1317 + j0.9822 + j0.62 + \frac{(-0.1317 + j0.9822) \cdot j0.62}{0.4699 + j0.3916} = \\ &= (-0.9819 + j2.1370) = 2.3518 e^{j114.7^\circ} \Omega\end{aligned}$$

## 8. Obliczenie mocy płynących z generatorów

Wiemy, że:

- linią płynie moc czynna lecz nie wiemy jaka jest w tym miejscu moc bierna,
- moc czynna płynąca linią jest równa mocy czynnej płynącej przez T1 od strony szyn A,
- znamy napięcia na szynach A i D.

W tej sytuacji zależność mocy czynną płynącą przez T1 od strony szyn A jest postaci:

$$P_{T1A} = \frac{U_{G1} U_{G2}}{X_{T1} + X_L + X_{T2}} \sin \vartheta$$

$$\sin \vartheta = \frac{P_{T1A} (X_{T1} + X_L + X_{T2})}{U_{G1} U_{G2}} = \frac{100 \cdot 0.2634}{15.75 \cdot 15.75} = 0.1062$$

$$\begin{aligned} Q_{T1A} &= \frac{U_{G1}^2}{X_{T1LT2}} - \frac{U_{G1} U_{G2}}{X_{T1LT2}} \cos \vartheta = \\ &= \frac{15.75^2}{0.2634} - \frac{15.75^2}{0.2634} \sqrt{1 - 0.1062^2} = 5.3 \text{ M var} \end{aligned}$$

Ponieważ obwód jest reaktancyjny a napięcia na początku i końcu (szyny A i D) są jednakowe to moc bierna wpływająca przez T2 do szyn D będzie taka sama jak wyżej, lecz przeciwnego znaku. Następnie możemy wyliczyć moce płyną z generatorów w oparciu o I-sze prawo Kirchoffa zapisane dla mocy.

$$\begin{aligned} \underline{S}_{G1} &= \underline{S}_{o1} + \underline{S}_{T1A} = 200 + j150 + 100 + j5.3 = \\ &= (300 + j155.3) \text{ MVA} \end{aligned}$$

$$\begin{aligned} \underline{S}_{G2} &= \underline{S}_{o2} - \underline{S}_{T2D} = 200 + j150 - (100 - j5.3) = \\ &= (100 + j155.3) \text{ MVA} \end{aligned}$$

#### 9. Obliczenia modułów sił elektromotorycznych generatorów

$$\begin{aligned} \underline{E}_{d1} &= U_{G1} + \frac{Q_{G1} X_{G1}}{U_{G1}} + j \frac{P_{G1} X_{G1}}{U_{G1}} = \\ &= 15.75 + \frac{155.3 \cdot 0.62}{15.75} + j \frac{300 \cdot 0.62}{15.75} = (21.9 + j11.8) = 24.8 e^{j28.3^\circ} \text{ kV} \end{aligned}$$

$$\begin{aligned} \underline{E}_{d2} &= U_{G2} + \frac{Q_{G2} X_{G2}}{U_{G2}} + j \frac{P_{G2} X_{G2}}{U_{G2}} = \\ &= 15.75 + \frac{155.3 \cdot 0.62}{15.75} + j \frac{100 \cdot 0.62}{15.75} = (21.9 + j3.9) = 22.2 e^{j10.2^\circ} \text{ kV} \end{aligned}$$

#### 10. Wyznaczenie mocy granicznej równowagi statycznej układu

Wielkości do obliczeń:

$$\begin{array}{ll} Z_{11} = 1.0168 \Omega & \alpha_{11} = 11.7^\circ \\ Z_{22} = 1.0168 \Omega & \alpha_{11} = 11.7^\circ \\ Z_{12} = 2.3518 \Omega & \alpha_{12} = -24.7^\circ \\ E_{d1} = 24.8 \text{ kV} & E_{d2} = 21.8 \text{ kV} \end{array}$$

$$\alpha_{12} = 90 - \theta_{12} = 90 - 114.7 = -24.7^\circ$$

$$\delta_{gr} = 90 + \alpha_{12} = 90 - 24.7 = 65.3^\circ$$

$$P_{gr1} = \frac{E_{d1}^2}{Z_{11}} \sin \alpha_{11} + \frac{E_{d1} E_{d2}}{Z_{12}} =$$

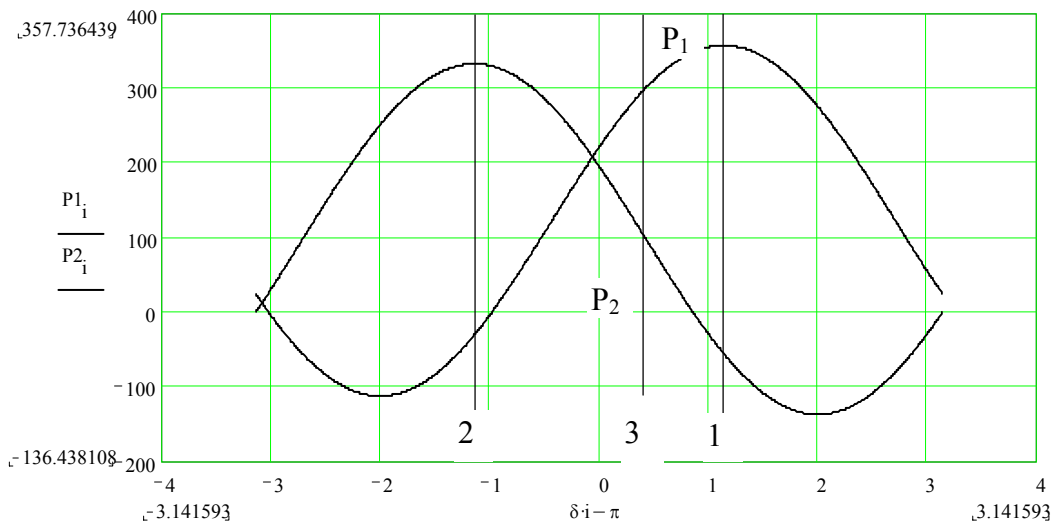
$$= \frac{24.8^2}{1.0168} \sin 11.7 + \frac{24.8 \cdot 22.2}{2.3518} = 358 \text{ MW}$$

$$P_{gr1} = \frac{E_{d1}^2}{Z_{11}} \sin \alpha_{11} + \frac{E_{d1} E_{d2}}{Z_{12}} =$$

$$= \frac{22.2^2}{1.0168} \sin 11.7 - \frac{22.2 \cdot 24.8}{2.3518} = -136 \text{ MW}$$

11. Przebiegi mocy w funkcji kąta rozchylenia wektorów sił elektromotorycznych

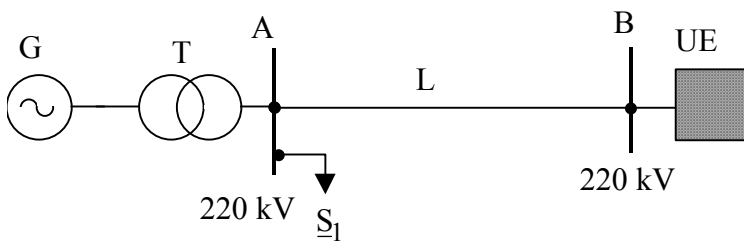
Na rys. 4.17 zaznaczono graniczny obszar pracy stabilnej generatorów wynoszący od  $-65.3^\circ$  do  $65.3^\circ$  (linie 1 i 2). Zaznaczono także punkt pracy generatorów – linia 3. Dla tego kąta generatory wytwarzają 300 i 100 MW.



Rys. 4.17 Przebiegi mocy w funkcji kąta rozchylenia wektorów sił elektromotorycznych

4.7.3 Zadanie 3

Obliczyć czy dla układu jak na rys. 4.18 można przesłać nadwyżkę mocy z generatora do systemu. Dla tej sytuacji obliczyć maksymalną długość linii, aby zachować stabilną pracę.



Rys. 4.18 Schemat sieci

Dane:

G1:	$S_N=250 \text{ MVA}$	$X_d=220 \%$	$U_{NG}=15,75 \text{ kV}$
	$\cos\varphi_N=0.8 \text{ ind.},$		
T1:	$S_N=250 \text{ MVA}$	$\Delta U_z=11 \%$	$v=231/15,$
L:	$X_k=0,4\Omega/\text{km}$	$l=50 \text{ km},$	
Odbiór:	$P_1=100 \text{ MW},$	$\cos\varphi_1=0.8 \text{ ind.}$	$U_A=231 \text{ kV},$
UE:	$U_B=231 \text{ kV}.$		

Generator jest wyposażony w wolny regulator wzbudzenia utrzymujący stałe napięcie na szynach A wynoszące 231 kV.

Rozwiązanie:

1. Impedancje elementów na poziomie 220 kV

$$X_G = \frac{X_d}{100} \frac{U_N^2}{S_N} (g_T)^2 = \frac{220}{100} \frac{15.75^2}{250} \left( \frac{231}{15} \right)^2 = 517.7 \Omega$$

$$X_T = \frac{\Delta U_z}{100} \frac{U_N^2}{S_N} = \frac{11}{100} \frac{231^2}{250} = 23.48 \Omega$$

$$X_L = X_k l = 0.4 \cdot 50 = 20 \Omega$$

2. Obliczenia mocy odbioru 1

$$\underline{S}_1 = P_1 + j \frac{P_1}{\cos \varphi_1} \sin \varphi_1 = 100 + j \frac{100}{0.8} 0.6 = (100 + j 75.0) \text{ MVA}$$

3. Zastąpienie odbiorów impedancjami

$$\underline{Z}_{o1} = \frac{U_A^2}{\underline{S}_1^*} = \frac{231^2}{100 - j 75} = (341.5 + j 256.1) \Omega$$

4. Obliczenia siły elektromotorycznej generatora

Impedancja bloku generator-transformator wynosi:

$$X_{GT} = X_G + X_T = 517.7 + 23.48 = 541.2 \Omega$$

Znając obciążenie generatora, które jest równe mocy  $\underline{S}_1$  można obliczyć jego siłę elektromotoryczną:

$$\begin{aligned} \underline{E}_d &= U_A + \frac{Q_G X_{GT}}{U_A} + j \frac{P_G X_{GT}}{U_A} = \\ &= 231 + \frac{75 \cdot 541.2}{231} + j \frac{100 \cdot 541.2}{231} = (406.7 + j 234.3) = 469.3 e^{j29.9^\circ} \text{ kV} \end{aligned}$$

## 5. Obliczenie impedancji wzajemnej generator 1 – sieć sztywna

W celu obliczenia impedancji wzajemnej generator 1 – sieć sztywna musimy przekształcić gwiazdę złożoną z impedancji:  $jX_{GT}$ ,  $Z_{o1}$  oraz  $jX_L$  występującą w schemacie zastępczym na trójkąt.

$$\begin{aligned} Z_{12} &= jX_{GT} + jX_L + \frac{jX_{G1} \cdot jX_L}{Z_{o1}} = j541.2 + j20 + \frac{j541.2 \cdot j20}{341.5 + j256.1} = \\ &= (-20.28 + j576.4) \Omega = 576.8 e^{j92.0^\circ} \Omega \end{aligned}$$

## 6. Obliczenie czy dla układu jak na rys. 4.18 można przesłać nadwyżkę mocy z generatora do systemu

Ponieważ:

$$\alpha_{12} = 90 - \theta_{12} = 90 - 92 = -2.0^\circ$$

$$\delta_{gr} = 90 + \alpha_{12} = 90 - 2.0 = 88.0^\circ$$

Kąt pomiędzy siłą elektromotoryczną generatora a napięciem sieci sztywnej równy jest kątowi pomiędzy siłą elektromotoryczną generatora a napięciem na szynach A ponieważ linią nie płynie żadna moc i wynosi:

$$\delta_{E_d U_S} = 29.9^\circ$$

W sytuacji, gdy kąt pomiędzy siłą elektromotoryczną generatora a napięciem sieci sztywnej jest mniejszy od kąta granicznego przesyłu:

$$\delta_{E_d U_S} = 29.9^\circ < \delta_{gr} = 88.0^\circ$$

to znaczy, że linią można przesłać nadwyżkę mocy z generatora do systemu.

## 7. Obliczenie maksymalnej długości linii, aby zachować stabilną pracę zaczniemy od założenia, że linią płynie cała nadwyżka mocy z generatora tzn.:

$$P_L = S_{NG} \cdot \cos \varphi_N - P_1 = 250 \cdot 0.8 - 100 = 100 \text{ MW}$$

## 8. Obliczenie, jaka moc bierna popłynie wtedy linią

$$P_L = \frac{U_A U_S}{X_L} \sin \vartheta$$

$$\sin \vartheta = \frac{P_L X_L}{U_A U_S} = \frac{100 \cdot 20}{231 \cdot 231} = 0.0375$$

$$\vartheta = \arcsin \vartheta = 2.15^\circ$$

$$Q_L = \frac{U_A^2}{X_L} - \frac{U_A U_S}{X_L} \cos \vartheta =$$

$$= \frac{231^2}{20} - \frac{231^2}{20} \sqrt{1 - 0.0375^2} = 1.87 \text{ M var}$$

9. Obliczenie mocy generatora

$$\underline{S}_{G1} = \underline{S}_{o1} + \underline{S}_L = 100 + j75 + 100 + j1.87 = (200 + j76.9) \text{ MV} \cdot \text{A}$$

10. Obliczenie siły elektromotorycznej generatora

$$\underline{E}_d = U_A + \frac{Q_{G1} X_{GT}}{U_A} + j \frac{P_{G1} X_{GT}}{U_A} =$$

$$= 231 + \frac{76.9 \cdot 541.2}{231} + j \frac{200 \cdot 541.2}{231} = (411.1 + j468.6) = 623.3 e^{j48.7^\circ} \text{ kV}$$

11. Obliczenie czy układ z na rys. 4.18 po przesłaniu nadwyżki mocy z generatora do systemu jest jeszcze stabilny

W sytuacji, gdy kąt pomiędzy siłą elektromotoryczną generatora a napięciem sieci sztywnej jest mniejszy od kąta granicznego przesyłu:

$$\delta_{E_d U_S} = \delta_{E_d U_A} + \vartheta = 48.7^\circ + 2.15^\circ = 50.85^\circ < \delta_{gr} = 88.0^\circ$$

to znaczy, że układ jest stabilny i można zwiększyć długość linii.

12. Zakładamy, że linia posiada długość 250 km, czyli jej reaktancja wynosi

$$X_L = X_k l = 0.4 \cdot 250 = 100 \ \Omega$$

13. Obliczenie impedancji wzajemnej generator 1 – sieć sztywna

$$\underline{Z}_{12} = jX_{GT} + jX_L + \frac{jX_{G1} \cdot jX_L}{\underline{Z}_{o1}} = j541.2 + j100 + \frac{j541.2 \cdot j100}{341.5 + j256.1} =$$

$$= (-101.4 + j717.2) \ \Omega = 724.4 e^{j98.0^\circ} \ \Omega$$

14. Obliczenie mocy biernej, jaka popłynie linią

$$\sin \vartheta = \frac{P_L X_L}{U_A U_S} = \frac{100 \cdot 100}{231 \cdot 231} = 0.1874$$

$$\vartheta = \arcsin \vartheta = 10.8^\circ$$

$$Q_L = \frac{U_A^2}{X_L} - \frac{U_A U_S}{X_L} \cos \vartheta =$$

$$= \frac{231^2}{100} - \frac{231^2}{100} \sqrt{1 - 0.1874^2} = 9.45 \text{ M var}$$

15. Obliczenie mocy generatora

$$\underline{S}_{G1} = \underline{S}_{o1} + \underline{S}_L = 100 + j75 + 100 + j9.45 = (200 + j84.5) \text{ MV} \cdot \text{A}$$

16. Obliczenie siły elektromotorycznej generatora

$$\underline{E}_d = U_A + \frac{Q_{G1} X_{GT}}{U_A} + j \frac{P_{G1} X_{GT}}{U_A} =$$

$$= 231 + \frac{84.5 \cdot 541.2}{231} + j \frac{200 \cdot 541.2}{231} = (428.9 + j468.6) =$$

$$= 635.2 e^{j47.5^\circ} \text{ kV}$$

17. Obliczenie czy układ z na rys. 4.18 po przesłaniu nadwyżki mocy z generatora do systemu i zwiększeniu długości linii jest jeszcze stabilny

$$\delta_{gr} = 90 + \alpha_{12} = 90 + 90 - \theta_{12} = 180 - \theta_{12} = 180 - 98.0 = 82.0^\circ$$

$$\delta_{E_d U_S} = \delta_{E_d U_A} + \vartheta = 47.5^\circ + 10.8^\circ = 58.3^\circ < \delta_{gr} = 82.0^\circ$$

Układ jest stabilny i można zwiększyć długość linii.

18. Zakładamy, że linia posiada długość 600 km czyli jej reaktancja wynosi

$$X_L = X_k l = 0.4 \cdot 600 = 240 \ \Omega$$

19. Obliczenie impedancji wzajemnej generator 1 – sieć sztywna

$$\underline{Z}_{12} = jX_{GT} + jX_L + \frac{jX_{G1} \cdot jX_L}{\underline{Z}_{o1}} = j541.2 + j240 + \frac{j541.2 \cdot j240}{341.5 + j256.1} =$$

$$= (-243.4 + j963.7) \ \Omega = 994.0 e^{j104.2^\circ} \ \Omega$$

20. Obliczenie mocy biernej, jaka popłynie linią

$$\sin \vartheta = \frac{P_L X_L}{U_A U_S} = \frac{100 \cdot 240}{231 \cdot 231} = 0.4498$$

$$\vartheta = \arcsin \vartheta = 26.7^\circ$$

$$Q_L = \frac{U_A^2}{X_L} - \frac{U_A U_S}{X_L} \cos \vartheta =$$

$$= \frac{231^2}{240} - \frac{231^2}{240} \sqrt{1 - 0.4498^2} = 23.8 \text{ M var}$$

21. Obliczenie mocy generatora

$$\underline{S}_{G1} = \underline{S}_{o1} + \underline{S}_L = 100 + j75 + 100 + j23.8 = (200 + j98.8) \text{ MVA}$$

22. Obliczenie siły elektromotorycznej generatora

$$\begin{aligned} \underline{E}_d &= U_A + \frac{Q_{G1} X_{GT}}{U_A} + j \frac{P_{G1} X_{GT}}{U_A} = \\ &= 231 + \frac{98.8 \cdot 541.2}{231} + j \frac{200 \cdot 541.2}{231} = (462.4 + j468.6) = \\ &= 658.3 e^{j45.4^\circ} \text{ kV} \end{aligned}$$

23. Obliczenie czy układ z na rys. 4.18 po przesłaniu nadwyżki mocy z generatora do systemu i zwiększeniu długości linii jest jeszcze stabilny

$$\delta_{gr} = 180 - \theta_{12} = 180 - 104.2 = 75.8^\circ$$

$$\delta_{E_d U_S} = \delta_{E_d U_A} + \vartheta = 45.4^\circ + 23.8^\circ = 72.1^\circ < \delta_{gr} = 75.8^\circ$$

Układ jest stabilny i można zwiększyć długość linii, lecz różnica pomiędzy kątem granicznym a kątem siły elektromotorycznej jest już niewielka. Wskazuje to, że zwiększenie to może być bardzo małe. Dodatkowo musimy pamiętać, że dla linii o długości 600 km zastosowaliśmy wzory takie jak dla linii krótkiej, gdy tymczasem jest to już linia długa.